

III-58 傾斜計を用いた矢板岸壁の応力測定法に関する研究

広島大学工学部 正員 工博 綱干寿夫

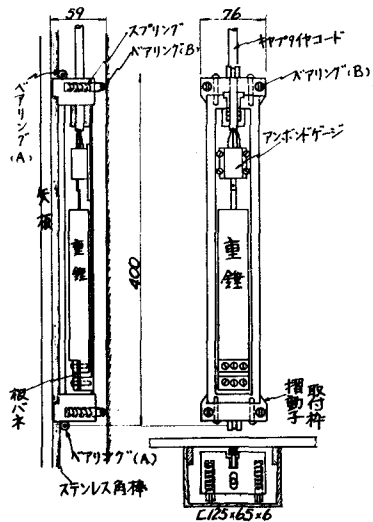
広島県広島港事務所 正員 小刀 章

広島大学大学院 正員 ○楠本千賀志

矢板岸壁に作用する土圧、および曲げ応力を測定するのに、一般には土圧計およびStrain gaugeが用いられるが、前面浚渫式の矢板岸壁や矢板根入れ部分の土圧測定では、土圧計を矢板に取付けて打込むことになるため、打込み衝撃のために土圧計が故障することが多く、土圧計による土圧測定は困難である。またStrain gaugeを用いる方法は短期間の測定では可なり満足のいく測定値が得られるが、矢板岸壁のような水中における長期測定ではgaugeの安定性が途中で悪くなつて測定値に信頼性がおけなくなること、測定値より計算によって土圧を求めるには数多くのStrain gaugeが必要であること等で、土圧計を用いる方法も、Strain gaugeを用いる方法と共に満足な測定結果は得られないようである。著者らは広島港東部埋立地に建設された-4.00m鋼矢板岸壁（原地盤は士0m~-30m位）にて軟弱なシルト層であるためサンドドレン工法によって地盤改良され、 $q_u = 85 \text{ kN/m}^2$ とかつて、圧密載荷荷重である+6.40mの盛土の中に矢板を打込んで後に前面を浚渫する前面浚渫式で建設されたもので、矢板の根入れ部分をシルト層に、裏込め部分を砂層とする複雑な地盤条件の岸壁となるので、矢板に生ずる応力および作用する土圧を測定して、岸壁の安定性をチェックする目的で応力測定を行つた。）における、Strain gaugeと傾斜計を併用した応力測定において、傾斜計を使用する方法がStrain gaugeを使用するものよりも安定性があり、より信頼性のある測定値をえるといふ結果を得たので、ここに報告する。使用した傾斜計は図-1のようなるので、板バネとこれに取付けられた重錘とからなる倒立振子が主体をなすもので、倒立振子は計器が傾斜するとこれを取付けている軸体との間に相対的な横方向変位を生ずる。この微小変位を重錘の上

に付いているバーによってアンボンドゲージに伝え、電気抵抗の変化として読み取るものである。最小読み取り角度は 2×10^{-4} rad、測定範囲は $\pm 2 \times 10^{-2}$ rad、過負荷率150%、但し測定値がこゝを越える場合は上下についている摺動子取付軸を移動せることによってさうに 2×10^{-2} radの測定が可能である。測定傾斜角は板バネの面に直角を一方向のみで、矢板のように傾斜角（たわみ角）の方向が決っているものの傾斜測定に適するようにならせてある。軸体内にはシリコンオイルがタンバーとして封入されている。試験矢板には図-1のようない $10\text{mm} \times 10\text{mm}$ のステンレス角棒をガイドレールに、L125×65×6の構型鋼をガイドとする傾斜測定ガイドが直接取付けられている。傾斜計はこのガイドレールに上下一対のベアリングA.Aで乗り、背面にあらべアーリング付のスプリング内蔵の押えロール(B)4個によってガイドレールに押しつけられ、ベアリングA.A間の傾斜角を測定する。傾斜測定は傾斜計をガイドレールにそ

図-1 傾斜計



つてガイド内を離すことによって行なわれる。一方応力測定に使用した strain gauge は共和電業製のペーフライトゲージ K-B22 で、図-2 のようなプロテクターを用いて取付けられており、防水処理には万全を期したものである。Strain gauge を取付けた試験矢板は曲げ検定試験を行って後約4ヶ月間、G.L +0.500 位の海底に放置され絶縁抵抗の低下を検査した。それによると、取付けられた65束の gauge のうち抵抗が $100\text{ M}\Omega$ 以下に低下したものは10束で、このうち $50\text{ M}\Omega$ 以下になったものは7束であった。昭和39年2月15日に試験矢板は打込され、その後施工上の不手際によって15束を残して他はリード線が途中で切断されたが。

現場で接続して $100\text{ M}\Omega$ 以上あるものは使用した。その結果3月28日の矢板前面浚渫開始の strain gauge 零点調節では一応みる調節可能であった。4月13日の測定値によると切断されなかつた15束の strain gauge のうち信頼のおけるものは約86%、5月12日で73%、6月13日、67%、7月30日47%、で測定に使用した28束の gauge についてもこの割合は変わっていかなかった。即ち strain gauge を用いた測定方法では、矢板が打込まれて5ヶ月後には50%位しか信頼できず測定値は得られないこととなつた。図-3は strain gauge から測定された歪で信頼できず値と、傾斜計から求められるたわみ角から式微分によって曲げモーメントを求め、これより計算した歪を比較したものである。

これによると傾斜計測定値から式微分によって求めた曲げ歪。

strain gauge より求めた歪がよく一致しており、かつ傾斜角測定値では連續的に歪の測定が可能であるから応力分布がよくわかるうえ、図式微分によって土圧を推定するのに好都合である。傾斜計は埋設式ではないので階時計器の検定および検査が容易にできるのが大きな利点である。

図-4は7月15日の傾斜角測定値より図式微分によって、曲げモーメント、剪断力、土圧を順に求めたものを示す。左の土圧図は土圧より逆に曲げモーメントを計算して、た

図-2 ゲージプロテクター

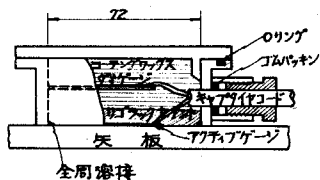
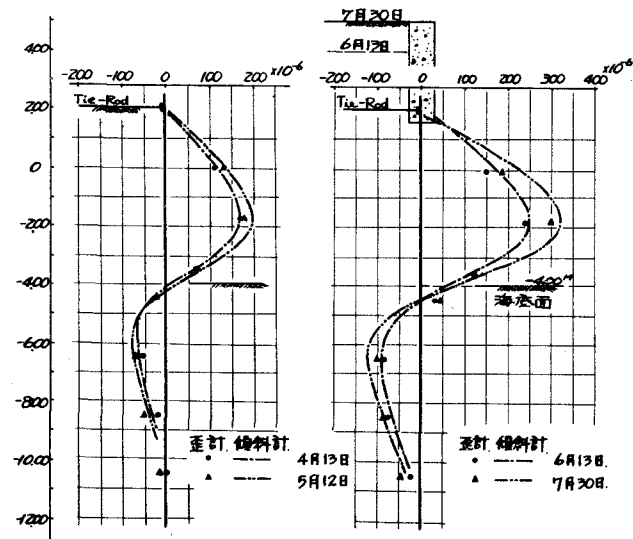
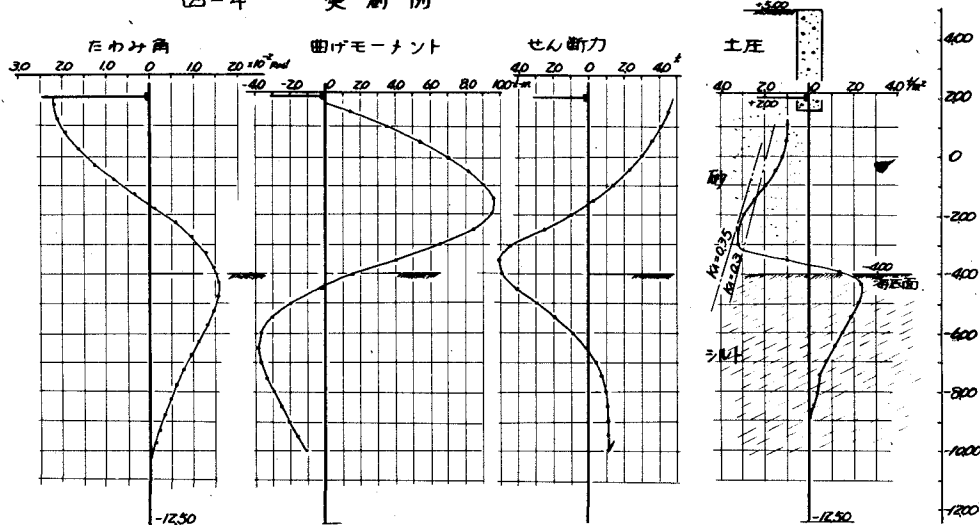


図-3 Strain gaugeによる測定値と傾斜計による測定値の比較。



わみ角の一回微分で得られる曲げモーメントと比較して一致するように検算されている。この例より傾斜計を用いる矢板応力の測定方法が、曲げモーメントおよび土圧を明確にとらえることができるものであることがよくわかるであろう。最後に広島港東部埋立地の軟弱なシルト地盤上に建設された -400M 前面浚渫式の鋼矢板岸壁 (Y.S.P. III, l=15000 使用)において、傾斜計、strain gauge カールソン型歪計、維目計を用いて、矢板の曲げ応力分布、タイロッドの張力、控え壁の移動量を測

図-4 実測例



定して得られた結果をのべるに次のようである。

- 1) 傾斜計による応力測定方法は strain gauge を用いる方法より安定性が大きく精度がよいので、信頼性の大きな測定方法であると言えよう。
- 2) 矢板に生ずる曲げモーメントは、チエボタリオフ氏の粘土地盤に対する設計方法の計算値とよく一致し、仮想鉛直（反曲点）はほぼ海底面に一致するとしてよい。
- 3) 裏込めを十分に盛らず、また腹起し部分を壁頭コンクリートの中に埋め込まない状態で、前面浚渫を行った当矢板岸壁では、いわゆる前面浚渫型の土圧分布は認められず、チエボタリオフ氏の裏込め式の矢板岸壁模型実験とよく類似した土圧分布を示した。これはタイロッドや腹起し部分の矢板のアンカー奥が前方へ移動したためであろう。
- 4) タイロッドレベルよりも上に盛られた土の荷重のため、タイロッドは主動土圧の反力よりも大きめ引張力を受けている。これは地盤の沈下に原因するものと思われる。
- 5) 矢板に作用する土圧は浚渫後ただちに作用せず、時間と共に徐々に増加していくを一定の値に落ち着く。この現象はタイロッドの張力変化、および最大曲げモーメントの値の増加が示している。

参考文献

網干、小刀、楠本、「軟弱地盤における矢板岸壁の応力測定について」

土木学会中国四国支部学術講演会概要集、昭和39年。

Peter. A. Hakman. 他: 'Bulkhead Test Program At Port of TOLEDO OHIO'

A. S. C. E., 1962, June.

石井謙九郎

「チエボタリオフの土圧力学」

技報堂